

НЕСТАЦИОНАРНЫЕ УПРУГИЕ ВОЛНЫ В НЕОДНОРОДНЫХ СРЕДАХ С НАЧАЛЬНЫМИ НАПРЯЖЕНИЯМИ

Шукевич Т.В., д. ф.-м. н. Чигарев А.В.

УО «Белорусский национальный технический университет», Минск

Рассмотрим упругую неоднородную среду, находящуюся в начальном напряженном докритическом состоянии. В момент времени $t=0$ на некоторой поверхности Σ_0 возникает скачок напряжений от σ^0 до 0, связанный с образованием микротрещины (микропоры), который для $t>0$ распространяется в виде волны (волна разгрузки). Поверхность Σ_0 - свободная поверхность образовавшейся трещины.

Под волной скачка напряжений понимается изолированная однопараметрическая поверхность $\Sigma(t)$, распространяющаяся в среде, на которой перемещения непрерывны, а напряжения, скорости перемещений и начальные напряжения терпят разрыв. Параметры $\lambda(\bar{x})$, $\mu(\bar{x})$ и их градиенты непрерывны, плотность $\rho(\bar{x})$ может терпеть разрыв.

Распространение волн описывается соотношениями[1]:

$$\sigma_{im,i} - u_{m,ni}\sigma_{in}^0 - u_{m,n}\sigma_{in,i}^0 = \rho \frac{dv}{dt} \quad (m \neq n), \quad (1)$$

$$\sigma_{ij} = \lambda(\bar{x})u_{k,k}\delta_{ij} + \mu(\bar{x})(u_{i,j} + u_{j,i}), \quad (2)$$

где σ_{in} - компоненты тензора напряжений; u_i - перемещения; σ_{in}^0 - компоненты тензора начальных напряжений.

На волновой поверхности $\Sigma(t)$ с учетом начальных напряжений должны выполняться:

1) геометрические условия совместности

$$\left(\frac{\partial z}{\partial a^k} \right) = B v_k + g^{\alpha\beta} \frac{\partial [z]}{\partial u^\alpha} \cdot \frac{\partial a^k}{\partial u^\beta}, \quad B \equiv \left[\frac{\partial z}{\partial a^i} \right] v^i, \quad (3)$$

где $[z] \equiv z_2 - z_1$ (z_1, z_2 - значения величин, характеризующих состояние среды по обе стороны от фронта), a^k - координаты фронта волны, v_k - ковариантные компоненты внешней единичной нормали в метрике пространства $a^1 a^2 a^3$ перед волной, $g^{\alpha\beta}$ - компоненты метрического тензора внутренней геометрии фронта волны, u^α, u^β криволинейные координаты внутренней геометрии фронта волны;

2) кинематические условия совместности первого порядка

$$\left(\frac{\partial z}{\partial t} \right) + GB = \frac{\delta [z]}{\delta t}, \quad (4)$$

где G - нормальная скорость движения поверхности; символ $\delta / \delta t$ означает изменение вдоль луча;

3) динамические условия совместности, которые определяют изменение количества движения на $\Sigma(t)$

$$\rho G = \rho^+ (G - v_n^+), \quad (5)$$

$$[\sigma_{im}] \cdot v^i = -\rho G [v_m] - G^{-1} [v_m \sigma_{in}^0] \cdot v^i \cdot v^n = \rho^+ G v_m^+ - G^{-1} v_m^+ [\sigma_{in}^0] \cdot v^i \cdot v^n, \quad (6)$$

где v^i - компоненты единичной нормали к поверхности $\Sigma(t)$; ρ^+, v^+ - значение плотности и компонент скорости на передней стороне поверхности $\Sigma(t)$. Скобки $[f]$ обозначают разность значений функции f на разных сторонах поверхности $\Sigma(t)$.

Продифференцировав (1) по времени и записав его в разрывах с учетом динамических соотношений (5), (6) и условий совместности первого порядка на поверхности $\Sigma(t)$, получим

$$(\lambda + \mu)[v_k] \cdot v^k v^m + \mu[v_m] - [v_m \sigma_{in}^0] v^i v^n = \rho G^2 [v_m]. \quad (7)$$

Предполагая $[v_k] \cdot v^k \neq 0$ на поверхности $\Sigma(t)$, умножим (5) на v_m и просуммируем по повторяющемуся индексу, получим

$$\rho G_l^2 = \lambda + 2\mu - [\sigma_{in}^0] \cdot v^i \cdot v^n. \quad (8)$$

С другой стороны, если $[v_k] \cdot v^k = 0$ на $\Sigma(t)$, то из соотношений (7) следует

$$\rho G_t^2 = \mu - [\sigma_{in}^0] \cdot v^i \cdot v^n. \quad (9)$$

Таким образом, в рассматриваемой неоднородной упругой среде с начальными напряжениями существует два типа волн: безвихревые (7) и эквиволноминальные (9), которые в каждой точке среды имеют скорости продольных и поперечных волн.

Записывая закон Гука (2) и уравнения движения (1) в разрывах с учетом условий совместности первого и второго порядков [2], получим дифференциальное уравнение для изменения интенсивности распространения волн

$$\frac{d \ln \omega^p}{ds} = \Omega_p - \frac{1}{2} \frac{d \ln G_p}{ds} + (\rho G_p^2)^{-1} [\sigma_{in}^0] \cdot v^i \cdot v^n \cdot \Omega_p \quad (p = l, t), \quad (10)$$

где s – расстояние вдоль траектории луча; Ω_p – средняя кривизна волны; $[v_i] \cdot v^i = \omega$.

Для общих случаев, в которых средняя кривизна $\Omega_p(\bar{s})$ изменяется в процессе распространения поверхности $\Sigma(t)$, уравнения (10) являются не замкнутыми. Для замыкания уравнений (10) необходимо получить уравнения средней кривизны $\Omega_p(\bar{s})$.

Средняя кривизна Ω связана с первой $g^{\alpha\beta}$ и второй $b_{\alpha\beta}$ квадратичными формами поверхности $\Sigma(t)$ соотношением [3]

$$2\Omega = b_{\alpha\beta} g^{\alpha\beta}. \quad (11)$$

Проведя δ -дифференцирование по времени в соотношении (4.2.11) и учитывая, что параметры внутренней геометрии волновых поверхностей удовлетворяют уравнениям

$$\begin{aligned} \frac{\partial g_{\alpha\beta}}{\partial s} &= -2b_{\alpha\beta}; \quad \frac{\partial g^{\alpha\beta}}{\partial s} = 2b^{\alpha\beta}; \\ \frac{\partial b_{\alpha\beta}}{\partial s} &= (\gamma_p c_p)_{,\alpha\beta} + \ln(\gamma_p c_p)_{,\alpha} \cdot \ln(\gamma_p c_p)_{,\beta} - g^{\eta\delta} b_{\alpha\eta} b_{\beta\delta}; \\ \frac{\partial b_{\alpha\beta}}{\partial s} &= g^{\alpha\eta} g^{\beta\delta} (\ln(\gamma_p c_p)_{,\eta\delta} + \ln(\gamma_p c_p)_{,\eta} \ln(\gamma_p c_p)_{,\delta}) + 3g_{\eta\delta} b^{\alpha\eta} b^{\beta\delta}; \\ \gamma_p &= (1 - \lambda_p)^{1/2}, \end{aligned} \quad (12)$$

получим уравнение для средней кривизны в виде

$$\frac{\partial \Omega}{\partial s} = 2\Omega^2 - K + \frac{1}{2}(Q_1 - Q_2 - R_1), \quad (13)$$

где K – гауссова кривизна поверхности, которая находится из формулы

$$\frac{\partial K}{\partial s} = 2\Omega K + 2\Omega(Q_1 - Q_2 - R_1) - P_1 + P_2 + R_2. \quad (14)$$

Здесь введены обозначения

$$\begin{aligned} Q_1 &= (c_p \gamma_p^2)^{-1} g^{\alpha\beta} c_{p,\alpha\beta}; \quad Q_2 = (c_p \gamma_p^2)^{-1} g^{\alpha\beta} \lambda_p^{1/2} (\lambda_p^{1/2} c_p)_{,\alpha\beta}; \\ R_1 &= \gamma_p^{-4} g^{\alpha\beta} \lambda_p (\ln \lambda_p^{1/2})_{,\alpha} (\ln \lambda_p^{1/2})_{,\beta}; \quad P_1 = (c_p \gamma_p^2)^{-1} b^{\alpha\beta} c_{p,\alpha\beta}; \\ P_2 &= (c_p \gamma_p^2)^{-1} b^{\alpha\beta} \lambda_p^{1/2} (\lambda_p^{1/2} c_p)_{,\alpha\beta}; \quad c_p^2 = \Lambda_p \rho^{-1}; \\ R_2 &= \gamma_p^{-4} b^{\alpha\beta} \lambda_p (\ln \lambda_p^{1/2})_{,\alpha} (\ln \lambda_p^{1/2})_{,\beta}; \\ \Lambda_l &= \lambda + 2\mu; \quad \Lambda_t = \mu; \quad \lambda_p = [\sigma_{in}^0] v_i v_n \Lambda_p^{-1}. \end{aligned} \quad (15)$$

В уравнения (13), (14), определяющие изменение средней и гауссовой кривизн волновой поверхности $\Sigma(t)$ в упругой среде с начальными напряжениями с переменной скоростью $G_p = c_p (1 - \lambda_p)^{1/2}$ вдоль луча, входят члены $g^{\alpha\beta} c_{p,\alpha\beta}$; $b^{\alpha\beta} c_{p,\alpha\beta}$, являющиеся инвариантами поверх-

ности $\Sigma(t)$. Первый называется дифференциальным параметром Бельтрами и связан с кривизной луча, а второй зависит еще и от кручения луча.

Уравнение лучей определяются из принципа минимума функционала Ферма [4] и имеют вид

$$\frac{\partial v^i}{\partial s} = -(\ln G)_{,\alpha} g^{\alpha\beta} x_\beta^j; \quad \frac{\partial x^i}{\partial s} = v^i. \quad (16)$$

Вектор $\{x_\beta^i\} = \bar{t}_\beta$, касательный к поверхности $\Sigma(t)$, удовлетворяют уравнению

$$\frac{\partial \bar{t}_\alpha}{\partial s} = (\ln c_p \gamma_p)_{,\alpha} \bar{v} - g^{\delta\gamma} b_{\delta\alpha} \bar{t}_\gamma. \quad (17)$$

Рассмотрим несколько случаев изменения параметров внутренней геометрии поверхности волны.

1. Плоская волна

Рассмотрим упругую неоднородную среду, в которой скорость распространения волны равна $G(\bar{x})$, плотность ρ и начальные напряжения σ_{ij}^0 . В момент времени $t=0$ происходит разгрузка. Волна разгрузки распространяется вдоль оси Ox .

Для случая плоской волны $\Omega_p = 0$, тогда из уравнения (10) следует

$$\frac{\partial \omega^l}{\partial x} = -\frac{1}{2} \frac{\partial}{\partial x} \ln(G(\bar{x})) \cdot \omega^l, \quad (18)$$

Из уравнения (4.2.16) находим зависимость интенсивности волны от скорости:

$$\frac{\omega^l}{\omega_0^l} = \left(\frac{G(x)}{G_0} \right)^{-1/2}, \quad (19)$$

где ω_0^l , G_0 - значения функций ω^l , $G(x)$ при $x=x_0$.

Рассмотрим случай неоднородности для функции распространения волны:

$$\frac{G(x)}{G_0} = \frac{x}{x_0}. \quad (20)$$

Начальная скорость распространения волны G_0 принимает следующие значения: а)1, б)10, с)100, д)1000.

На рисунке 1 приведена зависимость интенсивности волны от переменной x при различных начальных скоростях распространения волны

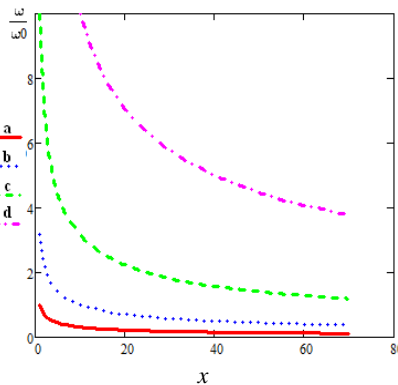


Рисунок 1 - Зависимость интенсивности плоской волны ω / ω_0 , распространяющейся перпендикулярно слоям в микрослоистой среде от переменной x

2. Сферическая волна

Пусть в бесконечном неоднородном пространстве имеется сферическая полость радиуса r_0 , находящаяся в начальном напряженном состоянии σ_{ij}^0 , плотность среды - ρ .

Скорость распространения волны в среде примем равной $G_p = G_0 - a \cdot t$, где a – постоянное ускорение.

Для случая сферической волны $\Omega_p = -\frac{1}{2(r_0 + G_p \cdot t)}$, тогда из уравнения (10) следует

$$\frac{\partial \ln \omega^p}{\partial r} = \Omega_p - \frac{1}{2} \frac{\partial \ln G_p}{\partial r} + (\rho G_p^2)^{-1} [\sigma_{ij}^0] \cdot v^i \cdot v^j \cdot \Omega_p, \quad (21)$$

Из уравнения (10) находим зависимость интенсивности волны от скорости:

$$\frac{\omega^l}{\omega_0^l} = \left(\frac{G_p}{G_o} \right)^{\frac{1}{2}} + e^{\int_{r_0}^r \Omega_p dr} + e^{\frac{[\sigma_{ij}^0] v^i v^j}{\rho} \int_{r_0}^r \frac{\Omega_p}{G_p^2} dr}, \quad (22)$$

где ω_0^l , - значения функции ω^l при $r=r_0$.

Перейдем в выражении для интенсивности (22) от переменной r к переменной t

$$\frac{\omega^l}{\omega_0^l} = \left(\frac{G_p}{G_o} \right)^{\frac{1}{2}} + e^{\int_{G_p}^t \Omega_p dt} + e^{\frac{[\sigma_{ij}^0] v^i v^j}{\rho} \int_{G_p}^t \frac{\Omega_p}{G_p} dt}, \quad (23)$$

где ω_0^l , G_o - значения функции ω^l , G_p при $t=t_0$.

Начальная скорость распространения волны G_0 принимает следующие значения: а)1, б)10, с)100, д)1000.

Зависимость интенсивности сферической волны от переменной t при различных скоростях распространения волны представлена на рисунке 2.

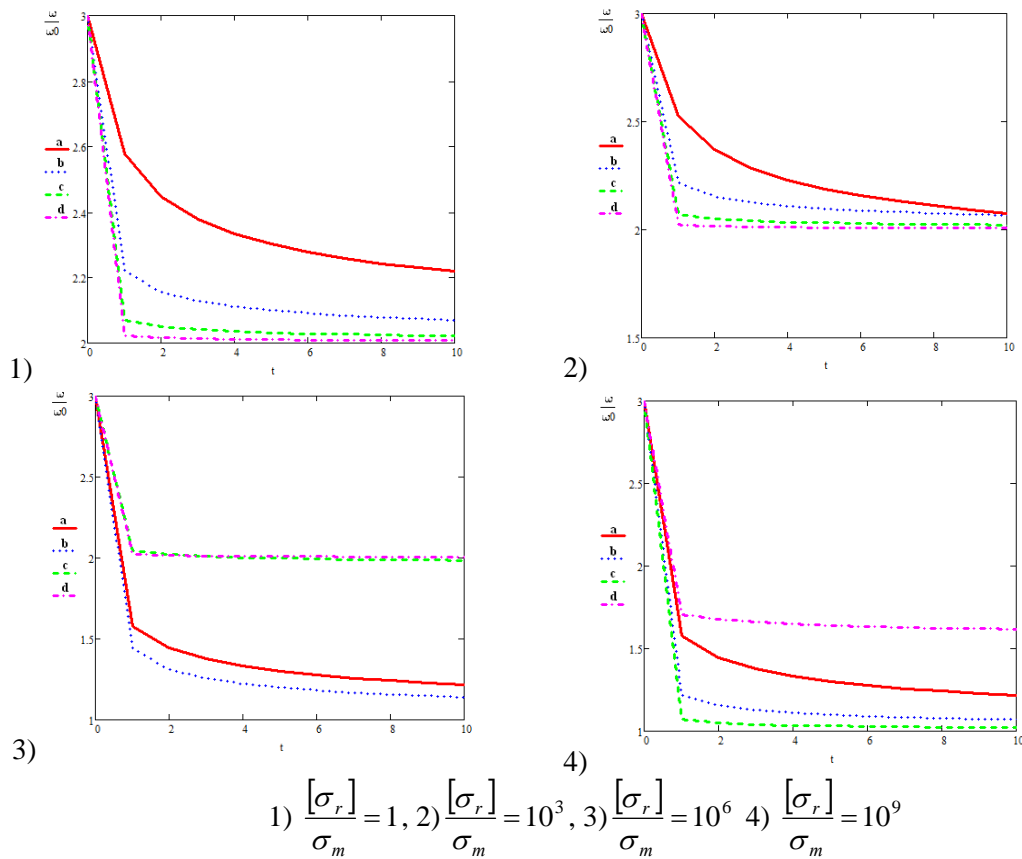


Рисунок 2 - Зависимость интенсивности сферической волны ω / ω_0 от переменной t

3 Цилиндрическая волна

Для случая цилиндрической волны $\Omega_p = -\frac{1}{r_0 + 2G_p \cdot t}$, тогда согласно уравнению (23) полу-

чим следующие зависимости для интенсивности волны.

Начальная скорость распространения волны G_0 принимает следующие значения: а)1, б)10, с)100, д)1000.

Зависимость интенсивности цилиндрической волны от переменной t при различных скоростях распространения волны представлена на рисунке 3.

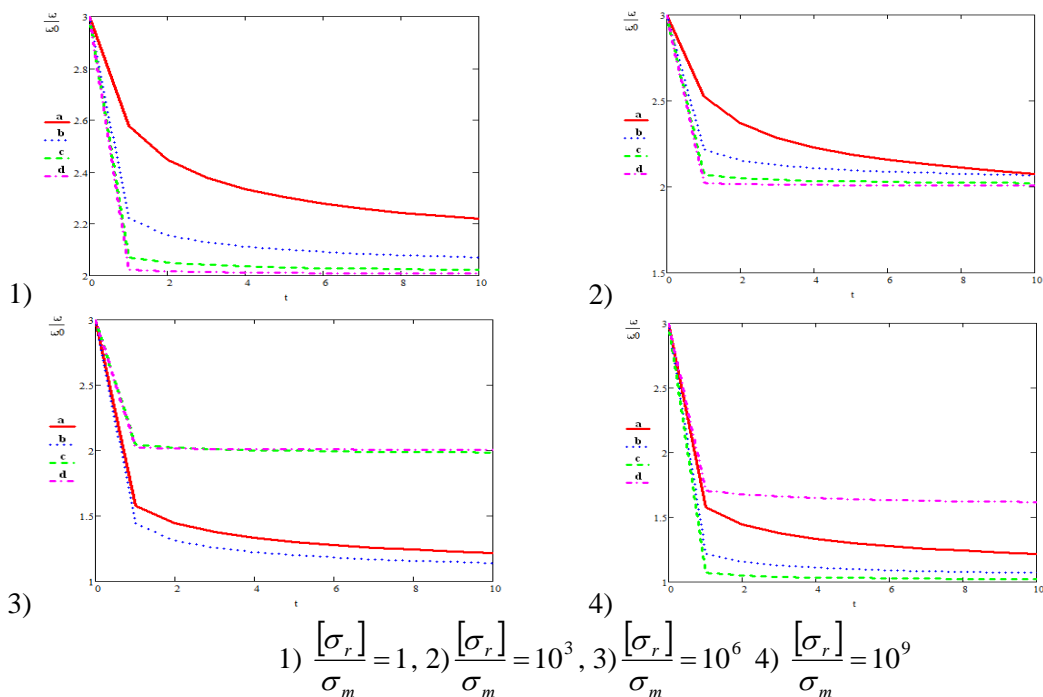


Рисунок 3 - Зависимость интенсивности цилиндрической волны ω/ω_0 от переменной t

Полученная система уравнений (10), (12) - (17) определяет изменение интенсивности волны в неоднородной упругой среде с начальными напряжениями в зависимости от параметров внутренней геометрии фронта волны. Следовательно, изменение начального напряженного состояния позволяет управлять направлением распространения лучей и параметрами внутренней геометрии фронта волны, а полученная зависимость интенсивности волны от неоднородности (через скорость) и начальных напряжений дает возможность оценить величину совместного и раздельного влияния неоднородности и начальных напряжений на интенсивность.

РЕЗЮМЕ

В статье рассмотрена упругая неоднородная среда, находящаяся в начальном напряженном докритическом состоянии. В момент времени $t=0$ на некоторой поверхности возникает скачок напряжений от σ^0 до 0, связанный с образованием микротрещины (микropоры), который для $t>0$ распространяется в виде волны (волна разгрузки). Определена интенсивность волны разгрузки, в зависимости от параметров внутренней геометрии фронта волны.

ЛИТЕРАТУРА

1. Payton R.G. Elastic wave propagation in homogeneous - rod. Quart. J. Mech. Appl. Math., 1966.- 91c.
2. Гузь А.Н. Упругие волны в телах с начальными напряжениями.— Киев.: Наук. думка, 1986.-535 с.
3. Чигарев А.В. К геометрии волновых фронтов в неоднородных средах.- Акуст. журнал, 1980. – 912 с.
4. Чигарев А.В. Стохастическая и регулярная динамика неоднородных сред. - Мн: УП «Технопринт», - 2000. – 426 с.

SUMMARY

The article considers the heterogeneous elastic medium in the initial voltage sub-critical. At time $t = 0$ on the surface there is a surge of σ^0 to 0, associated with the formation of cracks (microvoids) that for $t > 0$ applies to the form of waves (wave discharge). Defined wave intensity discharge, depending on the parameters of the internal geometry of the wave front.

Поступила в редакцию 04.10.2013